

# Fluides quantiques de basse dimension et transition de Kosterlitz-Thouless

Jean Dalibard

Chaire *Atomes et rayonnement*

Année 2016-17



COLLÈGE  
DE FRANCE  
— 1530 —

# Un monde à deux dimensions

De la sociologie...



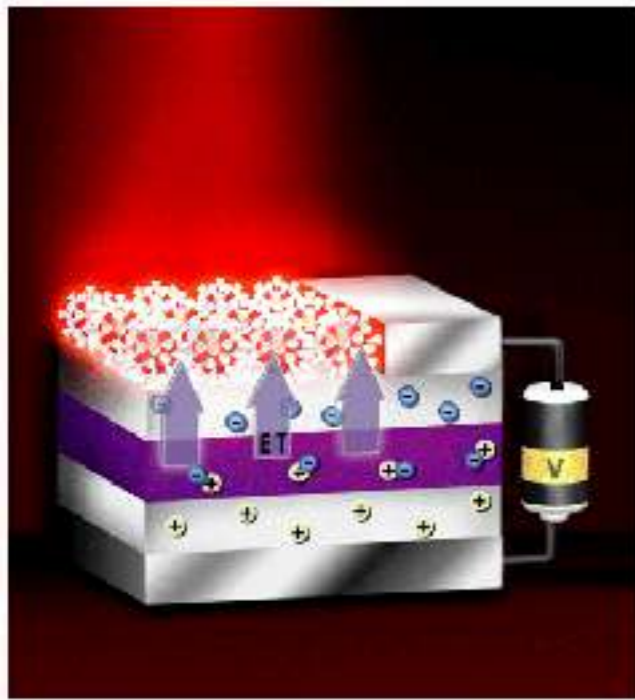
... à la physique



R. Peierls 1907-95

Que deviendraient les objets habituels de la physique, cristaux, aimants, si nous vivions dans un monde à deux dimensions?

# Objets physiques 2D « du quotidien »



Puits quantiques en électronique,  
diodes laser, photodétecteurs,  
composants électroniques à bas bruit

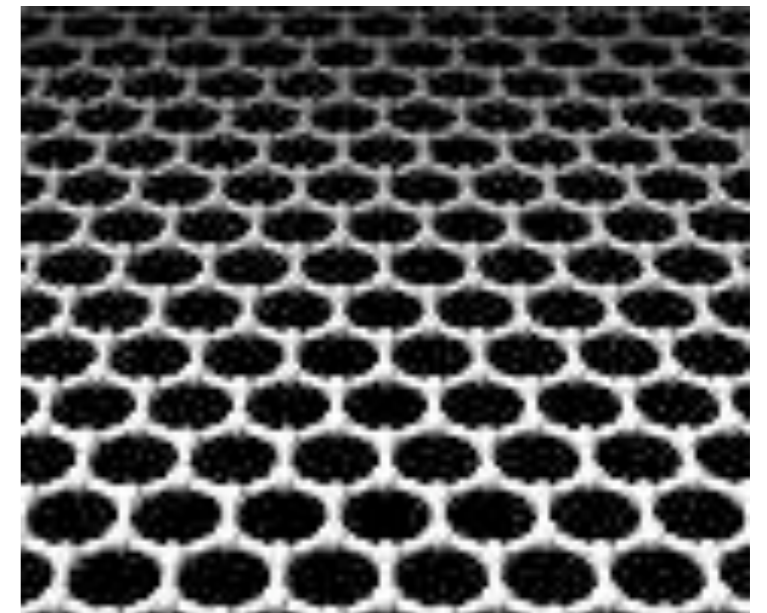
LANL

Supraconducteurs à haute  
température critique



wikipedia

Graphène



wikipedia

# Le résultat de Peierls

En basse dimension, les fluctuations thermiques ( $T \neq 0$ ) et quantiques ( $T = 0$ ) jouent un rôle accru, car les contraintes imposées par les positions des voisins sont moins importantes

Ces fluctuations empêchent l'apparition d'un ordre à longue portée similaire à celui rencontré à trois dimensions, comme l'ordre cristallin.

Mermin - Wagner - Hohenberg

*(hypothèses précisées dans la suite du cours)*

**Ce résultat entraîne-t-il l'absence complète de transition de phase à deux dimensions pour les systèmes avec une symétrie continue ?**

# L'ordre topologique

1973, Kosterlitz & Thouless :

*Ordering, metastability and phase transitions in two-dimensional systems*

Prix Nobel de physique 2016 pour « *les découvertes théoriques des transitions de phase topologiques et des phases topologiques de la matière* »



J.M. Kosterlitz



D.J. Thouless



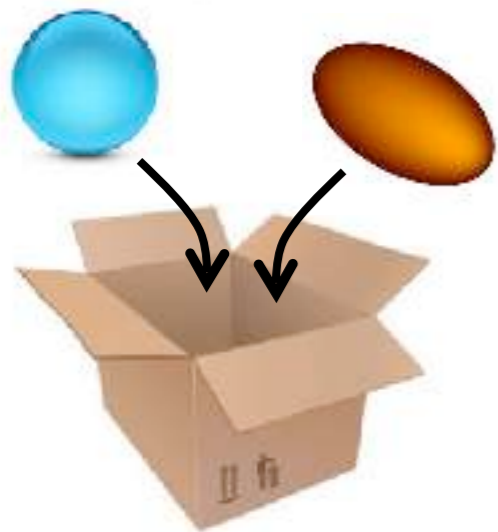
F.D. Haldane

# Pourquoi la topologie joue-t-elle un rôle ?

Topologie : étude mathématique des formes, visant à établir une équivalence entre des objets qui peuvent se transformer l'un en l'autre par une déformation continue

Nombre  $g$  d'anses ou de poignées d'un objet :

« genre » d'une surface fermée dans l'espace 3D



$g = 0$



$g = 1$



$g = 2$

Un changement de classe ne peut se faire qu'en passant par une singularité :  
**protection topologique**

# Le lien entre topologie et géométrie

En géométrie, on peut définir en tout point d'une surface fermée régulière et orientable la courbure  $\Omega(\mathbf{r})$ , avec par exemple pour une sphère  $\Omega = 1/R^2$



Le théorème de Gauss - Bonnet :  $\frac{1}{4\pi} \int_{\mathcal{S}} \Omega(\mathbf{r}) d^2r = 1 - g$



# La protection topologique en physique

Si une quantité physique peut s'exprimer comme

$$\int_{\Lambda} \Omega(\lambda) d\lambda$$

où  $\Lambda$  est une ligne ou une surface fermée, cette quantité peut être :

- quantifiée (par exemple, la conductivité de l'effet Hall quantique)
- protégée topologiquement (inchangée par une perturbation ou du désordre)

**Important à la fois pour l'aspect conceptuel et l'aspect pratique**

Réalisation de standards « macroscopiques » invariants d'un laboratoire à l'autre



# Le gaz de Bose à deux dimensions

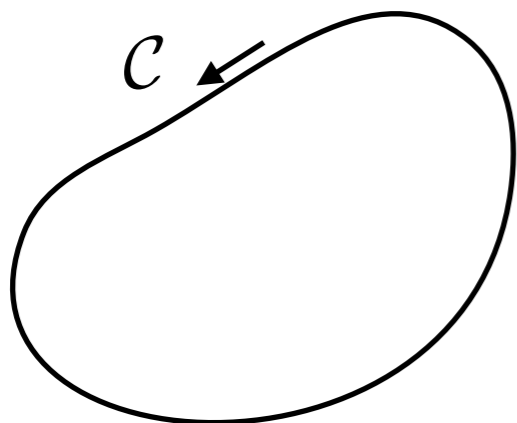
Fluide de particules identiques de masse  $m$  obéissant à la statistique de Bose-Einstein

On suppose que l'on peut décrire ce fluide par un champ « classique » complexe (onde de matière) :

$$\mathbf{r} = (x, y) \quad \psi(\mathbf{r}) = \sqrt{\rho(\mathbf{r})} e^{i\theta(\mathbf{r})} \quad \rho(\mathbf{r}) : \text{densité spatiale du fluide}$$

La phase  $\theta(\mathbf{r})$  est définie modulo  $2\pi$  en tout point où la densité est non nulle

Invariant topologique sur un contour fermé du plan  $xy$  sur lequel  $\rho(\mathbf{r})$  ne s'annule pas

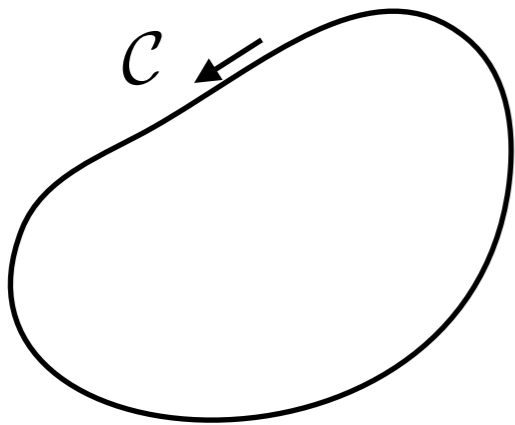


$$\oint_C \nabla \theta(\mathbf{r}) \cdot d\mathbf{r} = n 2\pi \quad n \in \mathbb{Z}$$

# Champ de vitesses du fluide et vortex

Fluide de Bose décrit par l'onde  $\psi(\mathbf{r}) = \sqrt{\rho(\mathbf{r})} e^{i\theta(\mathbf{r})}$

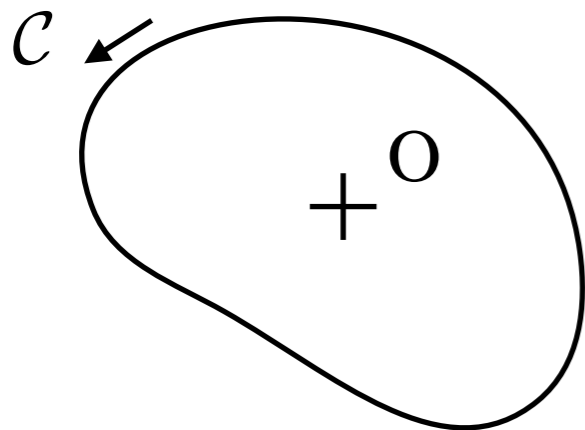
Le champ de vitesses du fluide se déduit de  $\psi(\mathbf{r})$  :  $\mathbf{v}(\mathbf{r}) = \frac{\hbar}{m} \nabla \theta(\mathbf{r})$



La circulation de la vitesse sur tout contour fermé sur lequel  $\rho(\mathbf{r}) \neq 0$  est quantifiée

$$\oint_C \mathbf{v}(\mathbf{r}) \cdot d\mathbf{r} = n \frac{2\pi\hbar}{m} \quad n \in \mathbb{Z}$$

Un vortex (tourbillon) est associé à un zéro de  $\psi(\mathbf{r})$ , par exemple

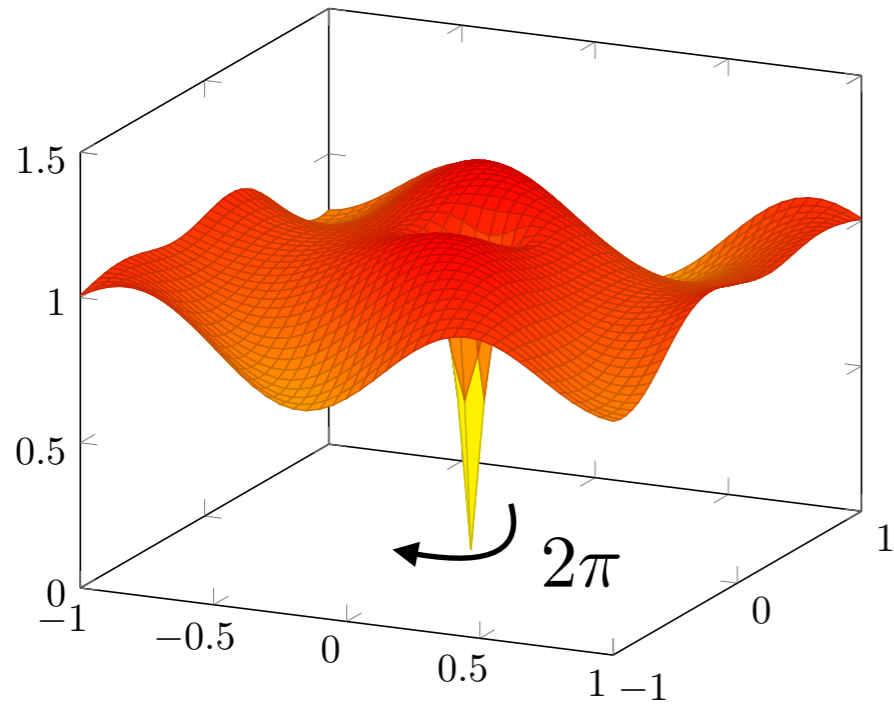


$$\psi(\mathbf{r}) = (x \pm iy) F(x^2 + y^2) = r F(r^2) e^{\pm i\varphi}$$

$$\longrightarrow \oint_C \mathbf{v}(\mathbf{r}) \cdot d\mathbf{r} = \pm \frac{2\pi\hbar}{m}$$

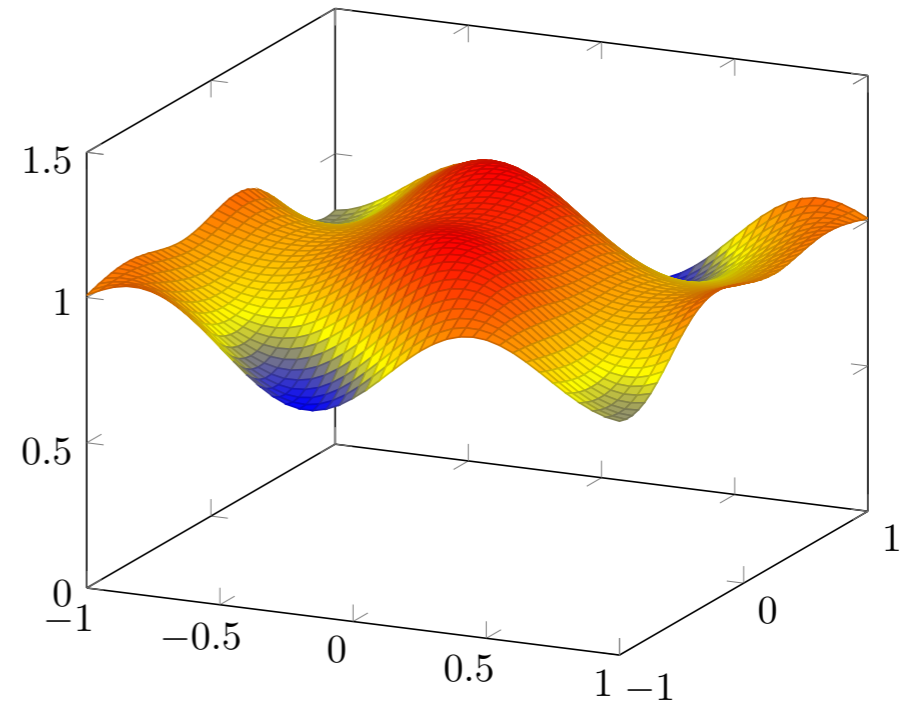
# Protection topologique d'un vortex

Représentation graphique de  $|\psi(\mathbf{r})|$

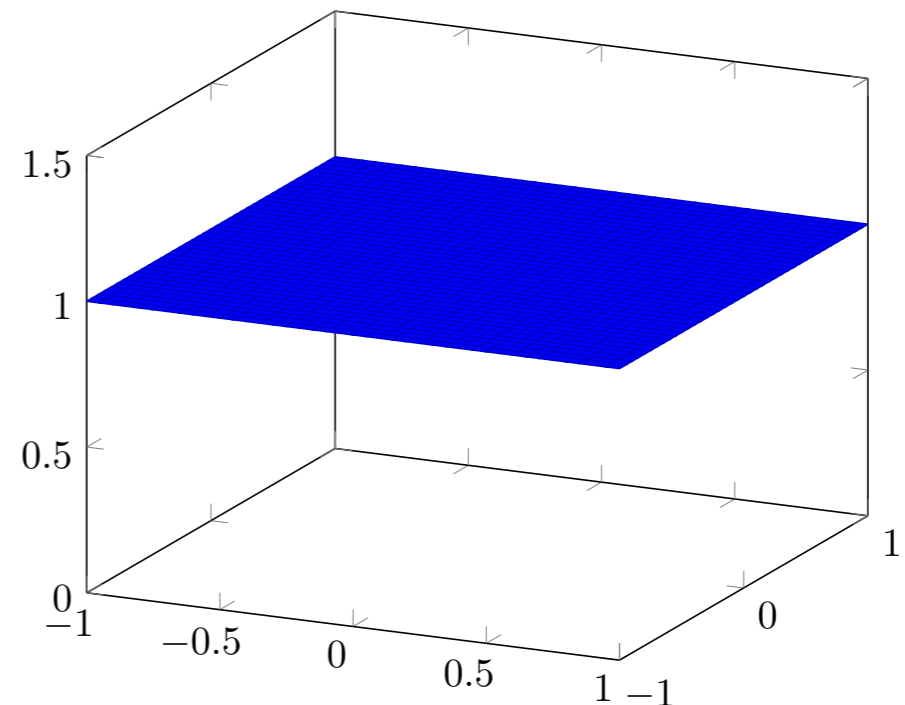


avec un vortex

topologiquement  
équivalents



sans vortex



# La transition de Kosterlitz - Thouless

1971: Vadim Berezinskii (1935-1980)

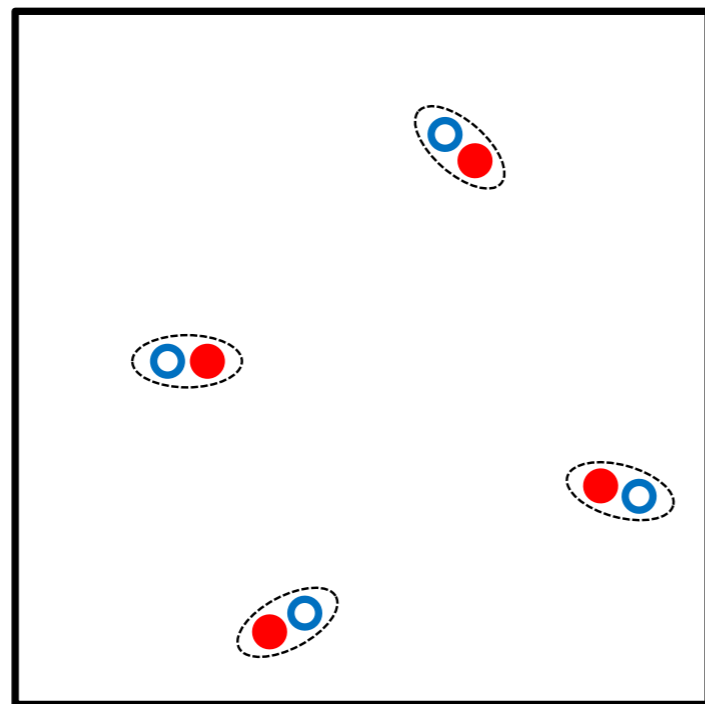
1973: J. Michael Kosterlitz et David J. Thouless

*mécanisme BKT*

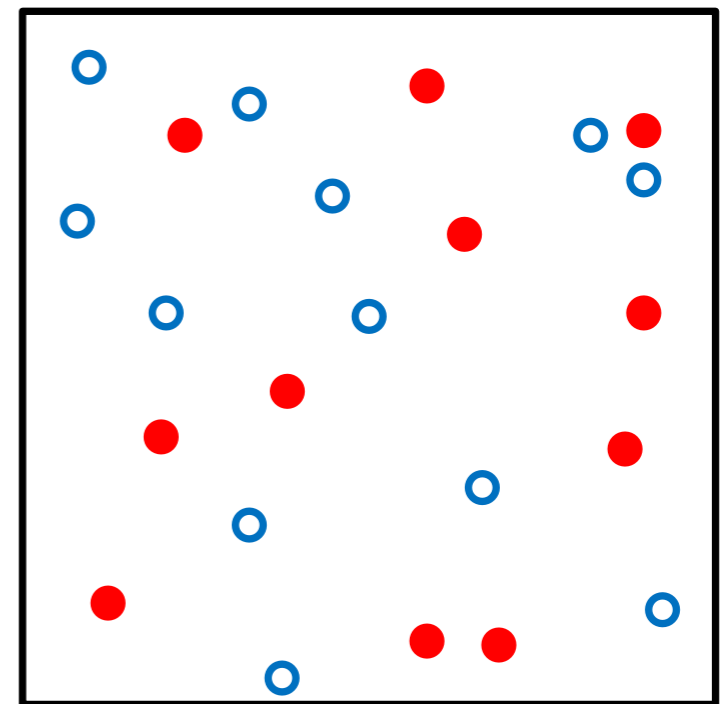
Transition de phase liée à l'appariement des défauts topologiques (vortex):

● : vortex  $+2\pi$

○ : vortex  $-2\pi$



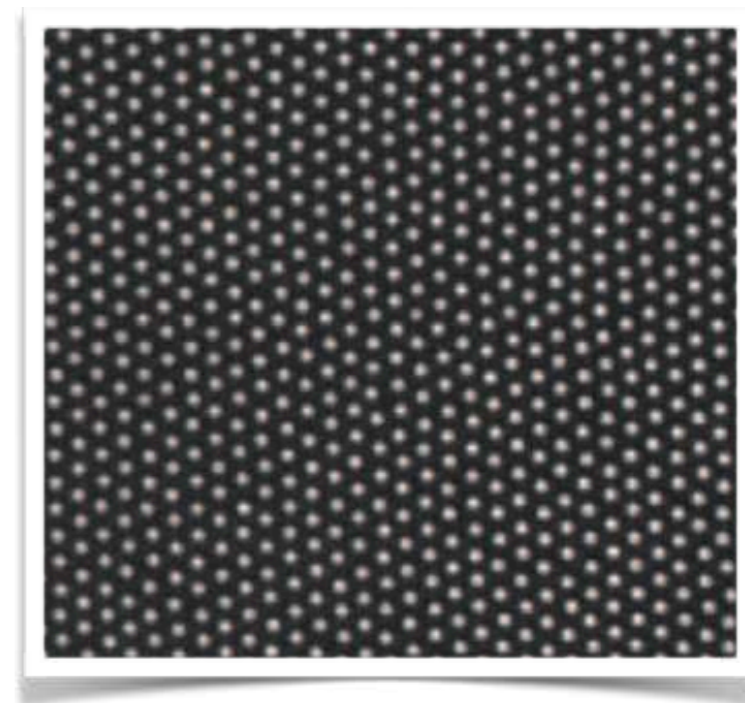
Basse température :  
pas vraiment un ordre  
usuel, mais un ordre  
topologique



Haute température :  
état désordonné

# Les buts de cette série de cours

- Mettre en place les outils pour comprendre le résultat de Peierls
- Analyser le mécanisme BKT sur le cas du gaz de Bose et des vortex
- Discuter plusieurs exemples de systèmes bidimensionnels
  - Liquides colloïdaux
  - photons dans des cavités électromagnétiques
  - films d'hélium liquide
  - gaz atomiques (bosons ou fermions)
  - particules hybrides lumière-matière (polaritons de cavité)



# Documents en ligne

Notes de cours et copies des diapositives :

[http://www.phys.ens.fr/~dalibard/2017\\_CdF.html](http://www.phys.ens.fr/~dalibard/2017_CdF.html)

Pour recevoir les annonces liées au cours, envoyer un courrier électronique à :

[listes-diffusion.cdf@college-de-france.fr](mailto:listes-diffusion.cdf@college-de-france.fr)

avec pour sujet : subscribe chaire-ar.ipcdf

# Séminaires

**3 mai 2017 : Yves Couder**, laboratoire Matière et Systèmes Complexes, Université Paris Diderot : *Une dualité onde-particule à échelle macroscopique : le rôle d'une mémoire*

**10 mai 2017 : Klaus Moelmer**, Aarhus University, Danemark : *A relaxed approach to quantum state engineering*

**17 mai 2017 : Alexia Auffeves**, Institut Néel – CNRS, Grenoble : *Contexts, systems, modalities: A physically realist framework for quantum mechanics*

**24 mai 2017 : Thierry Giamarchi**, Université de Genève, Suisse : *Berezinskii-Kosterlitz-Thouless transition and Sine-Gordon theory: from superconductors to cold atomic gases*

**31 mai 2017 : Tilman Pfau**, Université de Stuttgart, Allemagne : *Dipolar quantum gases and liquids*

**7 juin 2017 : Isabelle Bouchoule**, Laboratoire Charles Fabry, Palaiseau : *Physics of one-dimensional Bose fluids: Using ultra-cold gases as quantum simulators*

# Cours 1

## Peierls et l'ordre cristallin en basse dimension

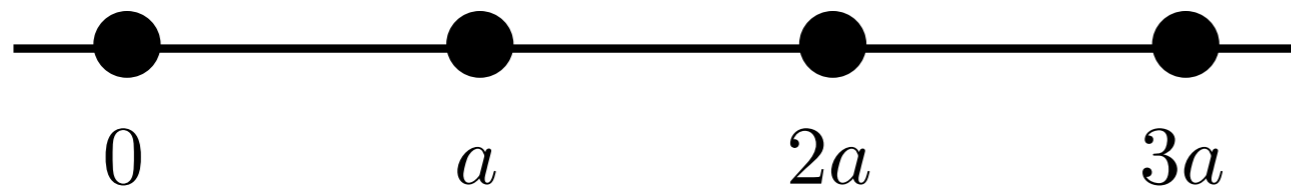


COLLÈGE  
DE FRANCE  
— 1530 —

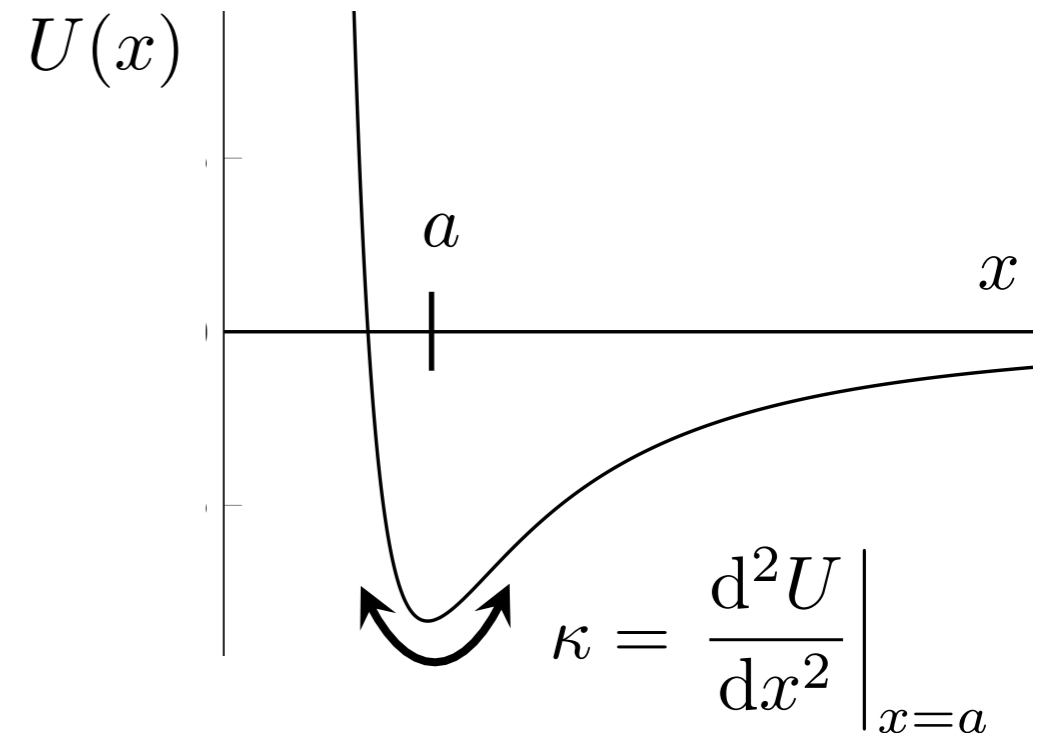


# L'argument de Peierls à une dimension

Une version simple : l'empilement de défauts



**Température nulle : chaîne ordonnée**



**Température non nulle :**

Fixons la position  $x_0$  de l'atome  $j = 0$ . La position de l'atome  $j = 1$  peut fluctuer :

$$x_1 = x_0 + a + \delta_1 \quad \langle \delta_1 \rangle = 0 \quad \langle \delta_1^2 \rangle \sim \frac{k_B T}{\kappa}$$

## L'empilement de défauts (suite)



$$\left\{ \begin{array}{l} x_1 = x_0 + a + \delta_1 \\ x_2 = x_1 + a + \delta_2 \\ \cdot \\ \cdot \\ \cdot \\ x_j = x_{j-1} + a + \delta_j \end{array} \right. \quad \langle \delta_1^2 \rangle \sim \frac{k_B T}{\kappa}$$

$$\langle \delta_j^2 \rangle \sim \frac{k_B T}{\kappa}$$

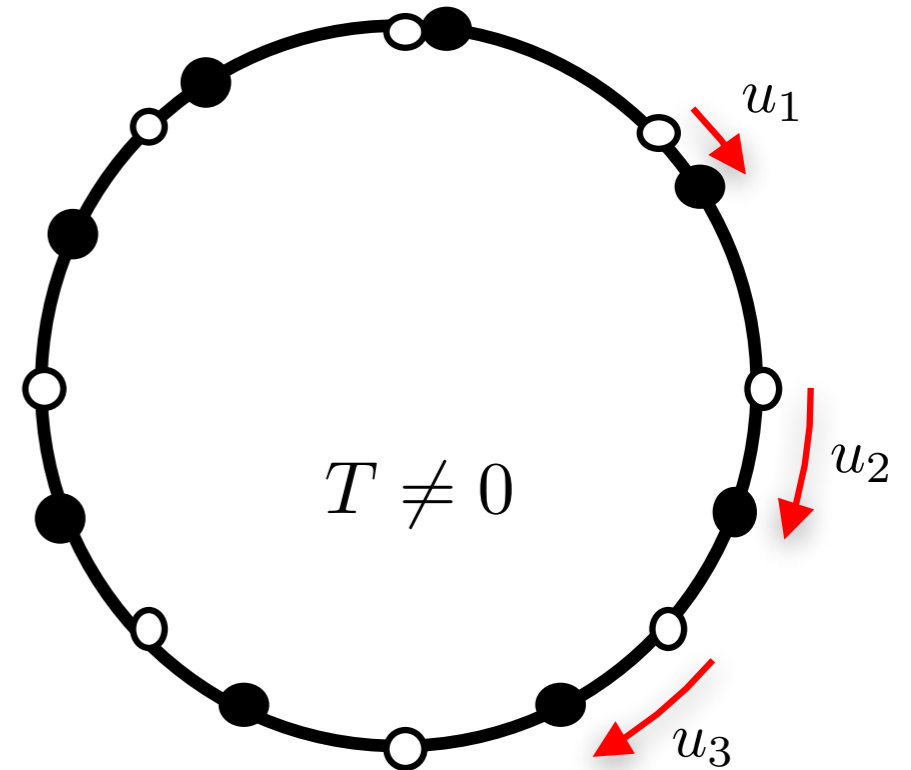
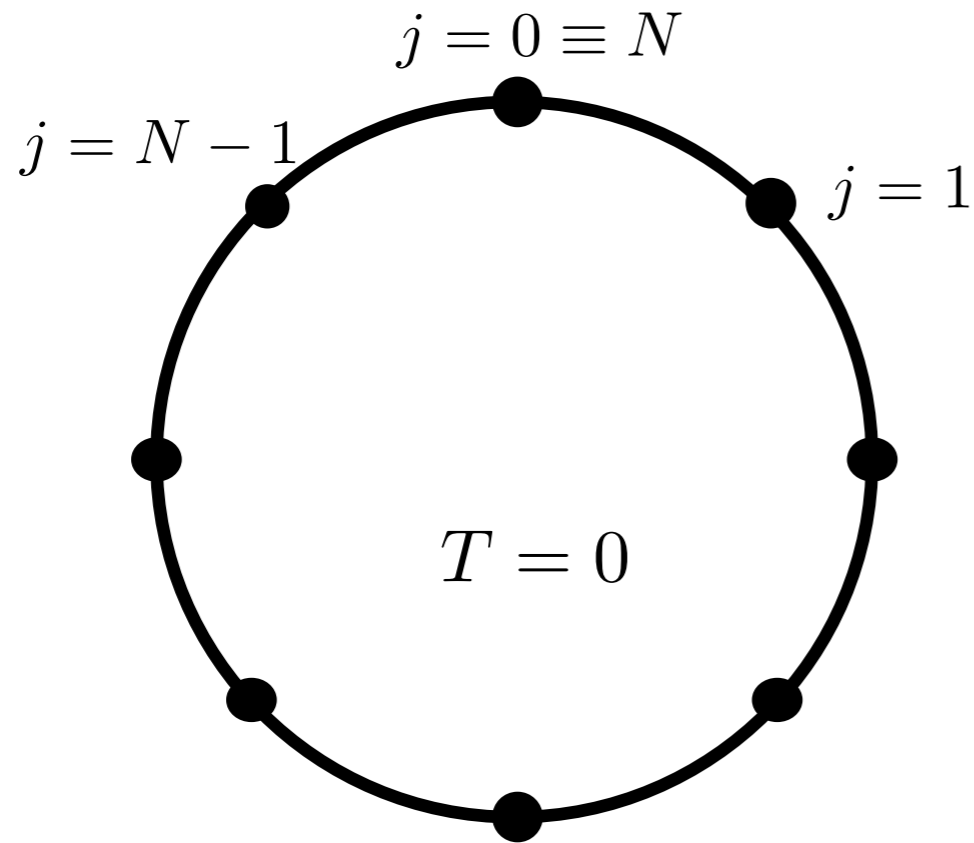
$$\longrightarrow x_j = x_0 + ja + \Delta_j \quad \Delta_j = \delta_1 + \delta_2 + \dots + \delta_j$$

Somme de variables indépendantes :  $\langle \Delta_j^2 \rangle \sim \frac{k_B T}{\kappa} j$ .

Si  $\langle \Delta_j^2 \rangle \gtrsim a^2$ , c'est-à-dire si  $j \gtrsim \frac{\kappa a^2}{k_B T}$ , on a perdu toute information sur la position de l'atome  $j$  par rapport à la maille du cristal : pas d'ordre à longue portée

# Le cristal harmonique classique 1D

Conditions aux limites périodiques



Energie du système : 
$$E = \sum_{j=1}^N \frac{1}{2} m \dot{u}_j^2 + \frac{\kappa}{2} (u_{j+1} - u_j)^2$$

Hypothèse :  $|u_{j+1} - u_j| \ll a$  mais pas nécessairement  $|u_j| \ll a$

Equations du mouvement : 
$$m \ddot{u}_j = \kappa (u_{j+1} - 2u_j + u_{j-1})$$

# Solutions des équations du mouvement

Passage dans l'espace de Fourier :  $\hat{u}_q = \frac{1}{\sqrt{N}} \sum_j e^{-i q X_j} u_j$   $X_j = ja$

nombre d'onde  $q$  :  $q = -\frac{\pi}{a}, \dots, -\frac{2\pi}{Na}, 0, \frac{2\pi}{Na}, \dots, +\frac{\pi}{a}$

$N$  équations indépendantes pour chaque nombre d'onde  $q$  :

$$\ddot{\hat{u}}_q + \omega_q^2 \hat{u}_q = 0 \quad \text{avec} \quad \omega_q = 2 \sqrt{\frac{\kappa}{m}} \left| \sin \frac{qa}{2} \right|$$

Pour les petits nombres d'onde,  $q \ll \pi/a$ , on a la relation de dispersion linéaire :

$$\omega_q = c |q| \quad \text{avec} \quad c = a \sqrt{\frac{\kappa}{m}}$$

*Ondes sonores (phonons)*

# L'équilibre thermodynamique du système 1D

Retour dans l'espace des positions : quelle est la corrélation entre les déplacements de deux atomes séparés de  $j$  sites ?

$$u_j - u_0 = \frac{1}{\sqrt{N}} \sum_q (e^{iqX_j} - 1) \hat{u}_q \quad X_j = ja$$

Moyenne prise à l'équilibre thermique :  $\langle \hat{u}_q \hat{u}_{q'}^* \rangle = 0$  si  $q \neq q'$

$$\frac{1}{2} m \omega_q^2 \langle |\hat{u}_q|^2 \rangle = \frac{1}{2} k_B T \quad \longrightarrow \quad \langle |u_q|^2 \rangle = \frac{k_B T}{m \omega_q^2}$$

$$\longrightarrow \langle u_j - u_0 \rangle = 0$$

$$\longrightarrow \langle (u_j - u_0)^2 \rangle = \frac{k_B T}{m} \frac{4}{N} \sum_q \frac{\sin^2 (qX_j/2)}{\omega_q^2} \quad \text{à calculer...}$$

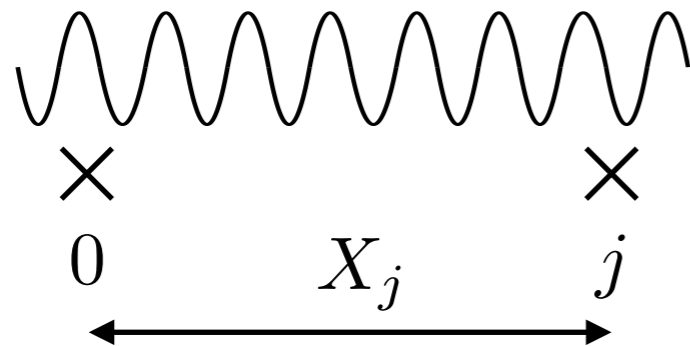
# Estimation de $\langle (u_j - u_0)^2 \rangle$

Passage d'une somme discrète sur  $q$  à une intégrale et utilisation de  $\omega_q \approx c |q|$

$$\langle (u_j - u_0)^2 \rangle \approx \frac{4}{\pi} \frac{k_B T}{\kappa a} \int_0^{\pi/a} \frac{\sin^2(qX_j/2)}{q^2} dq$$

On coupe l'intégrale en deux morceaux sur lesquels on fait des approx. différentes :

- Modes de grand nombre d'onde (i.e., courte longueur d'onde) :  $q > \pi/X_j$



$$\sin^2(qX_j/2) \approx \frac{1}{2}$$

- Modes de petit nombre d'onde (i.e., grande longueur d'onde) :  $q < \pi/X_j$



$$\sin^2(qX_j/2) \approx (qX_j/2)^2$$

## Estimation de $\langle (u_j - u_0)^2 \rangle$ (suite)

Contribution des deux types de modes

Modes de grand nombre d'onde : 
$$\langle (u_j - u_0)^2 \rangle \approx \frac{4}{\pi} \frac{k_B T}{\kappa a} \int_{\pi/X_j}^{\pi/a} \frac{1}{2q^2} dq$$
$$\sim \frac{k_B T}{\kappa a} X_j$$

Modes de petit nombre d'onde : 
$$\langle (u_j - u_0)^2 \rangle \approx \frac{4}{\pi} \frac{k_B T}{\kappa a} \int_0^{\pi/X_j} \frac{(qX_j/2)^2}{q^2} dq$$
$$\sim \frac{k_B T}{\kappa a} X_j$$

Les deux morceaux sont similaires et redonnent le résultat trouvé par l'argument fondé sur l'empilement de défauts. La contribution essentielle vient des modes :

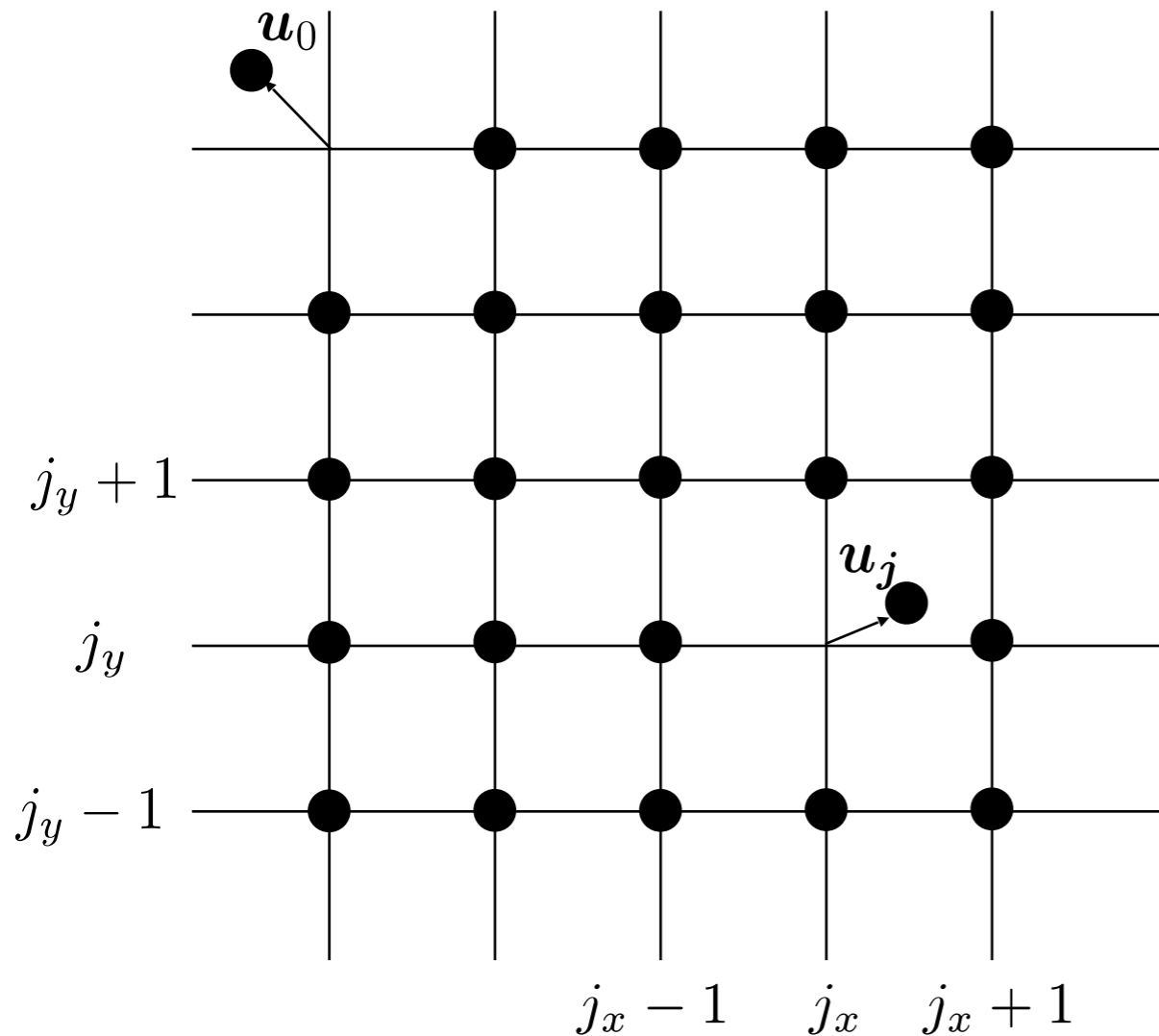
$$q \sim \frac{\pi}{X_j} \quad \text{responsables de la perte d'ordre à longue portée}$$

2.

Cristaux à deux ou à trois dimensions



# Ecart à l'équilibre dans un réseau bi-dimensionnel



$$\mathbf{j} \equiv (j_x, j_y)$$

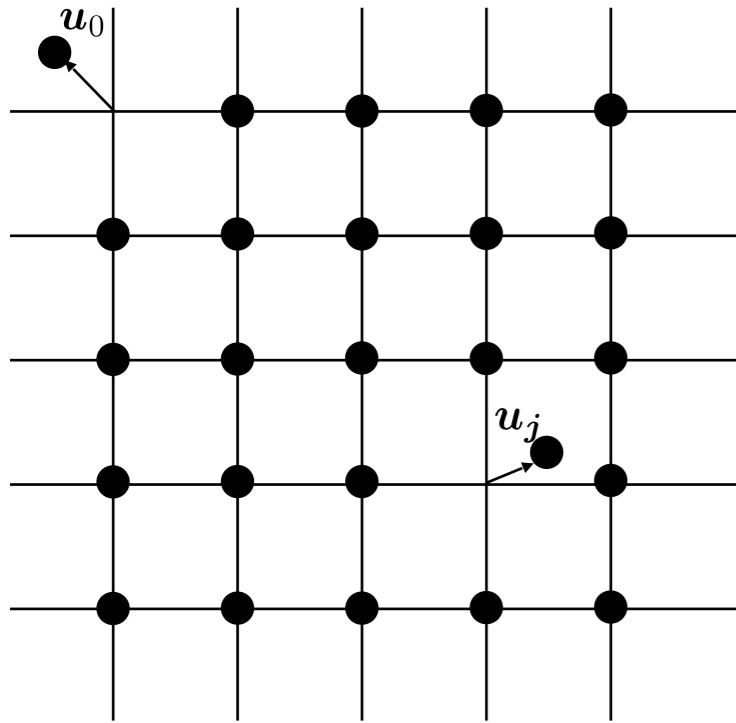
Analyse similaire au cas 1D, passant par la recherche des modes propres caractérisés par un vecteur d'onde  $\mathbf{q}$

$$\mathbf{q} \equiv (q_x, q_y)$$

L'étude détaillée est compliquée par le fait que les phonons peuvent avoir deux états de polarisations : parallèle à  $\mathbf{q}$  ou perpendiculaire à  $\mathbf{q}$

*Nous allons nous contenter ici de lois d'échelle*

# Ecart à l'équilibre à deux dimensions



Un traitement similaire au cas 1D conduit à :

$$\langle (u_j - u_0)^2 \rangle \sim \frac{k_B T}{\kappa} \frac{2}{\pi^2} \int_{\text{ZB}} \frac{\sin^2(\mathbf{q} \cdot \mathbf{R}_j / 2)}{q^2} d^2 q.$$

où le vecteur  $\mathbf{q} = (q_x, q_y)$  évolue dans la zone de Brillouin

$$-\frac{\pi}{a} < q_{x,y} < +\frac{\pi}{a}$$

On coupe là aussi l'intégrale en deux morceaux :

- Grands vecteurs d'onde :  $q > \pi/R_j$

$$\sim \frac{1}{\pi^2} \frac{k_B T}{\kappa} \int_{\pi/R_j}^{\pi/a} \frac{1}{q^2} 2\pi q dq \quad \sim \frac{2}{\pi} \frac{k_B T}{\kappa} \log(R_j/a) \quad \text{dominant}$$

- Petits vecteurs d'onde :  $q < \pi/R_j$

$$\sim \frac{1}{2\pi^2} \frac{k_B T}{\kappa} R_j^2 \int_0^{\pi/R_j} \pi q dq \quad \sim \frac{\pi}{4} \frac{k_B T}{\kappa}$$

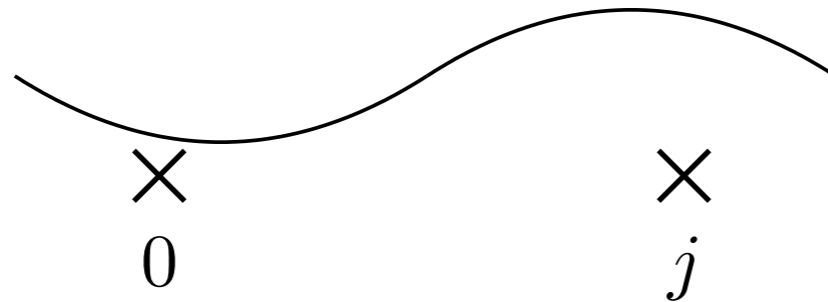
# Absence d'ordre à longue portée à 2D



R. Peierls

Bilan du calcul précédent :  $\langle (\mathbf{u}_j - \mathbf{u}_0)^2 \rangle \sim \frac{k_B T}{\kappa} \log(R_j/a)$

avec une contribution dominante des vecteurs d'onde  $q \sim \pi/R_j$  comme à 1D.



L'ordre cristallin à longue portée n'existe pas à 2D:

$$\langle (\mathbf{u}_j - \mathbf{u}_0)^2 \rangle \rightarrow \infty \quad \text{quand} \quad R_j \rightarrow \infty$$

mais la divergence n'est que logarithmique alors qu'elle était linéaire à 1D.

*On qualifie souvent cette situation de « quasi-ordre à longue portée »*

## Et le cas tri-dimensionnel ?

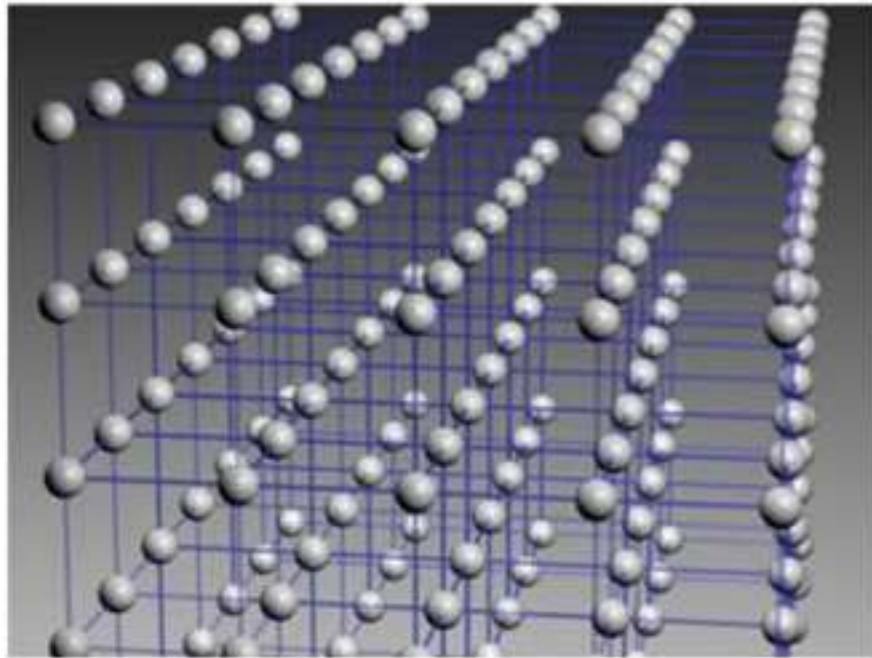


image I. Bloch

Le même type d'analyse peut être mené, conduisant à une forme similaire pour les écarts à l'équilibre :

$$\langle (\mathbf{u}_j - \mathbf{u}_0)^2 \rangle \sim \frac{ak_B T}{\kappa} \int_{\text{ZB}} \frac{\sin^2(\mathbf{q} \cdot \mathbf{R}_j/2)}{q^2} d^3q$$

$$d^3q = q^2 dq d^2\Omega \rightarrow \text{plus de divergence en } q = 0$$

On arrive alors à  $\langle (\mathbf{u}_j - \mathbf{u}_0)^2 \rangle \sim \frac{k_B T}{\kappa}$  : résultat indépendant de  $R_j$

Si  $\frac{k_B T}{\kappa} \ll a^2$ , l'ordre cristallin peut exister avec une portée infinie.



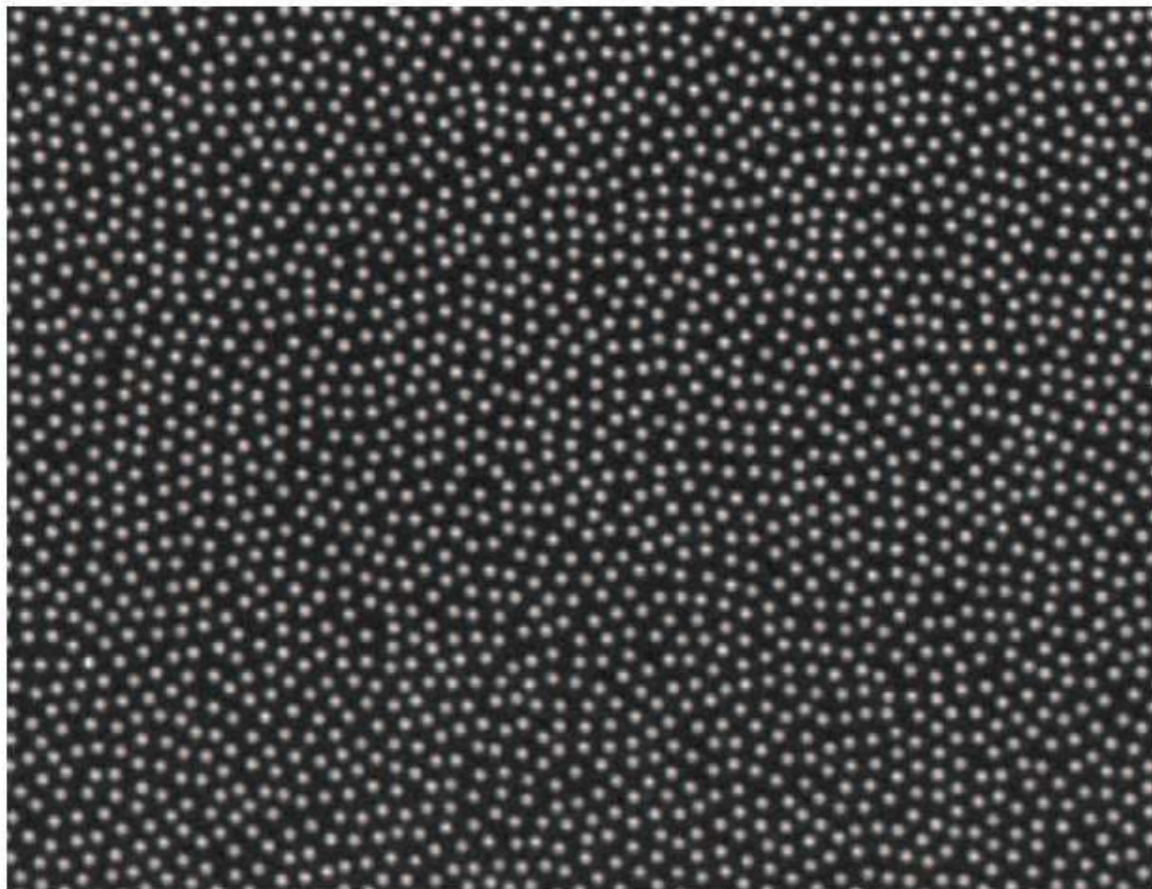
# Le théorème de Mermin - Wagner - Hohenberg

**Pour un système de dimension inférieure ou égale à 2 et des interactions à courte portée, il ne peut pas y avoir de brisure spontanée d'une symétrie continue à température non nulle**

- Si la portée est infinie, la théorie de champ moyen s'applique et les transitions de phase "standard" prévues par cette théorie peuvent se produire.
- Symétrie continue (translation, magnétisme de Heisenberg, condensation de Bose-Einstein). Le théorème ne s'applique pas tel quel aux symétries discrètes (Ising).
- A température nulle, le gaz de Bose 2D quantique en interaction est condensé

3.

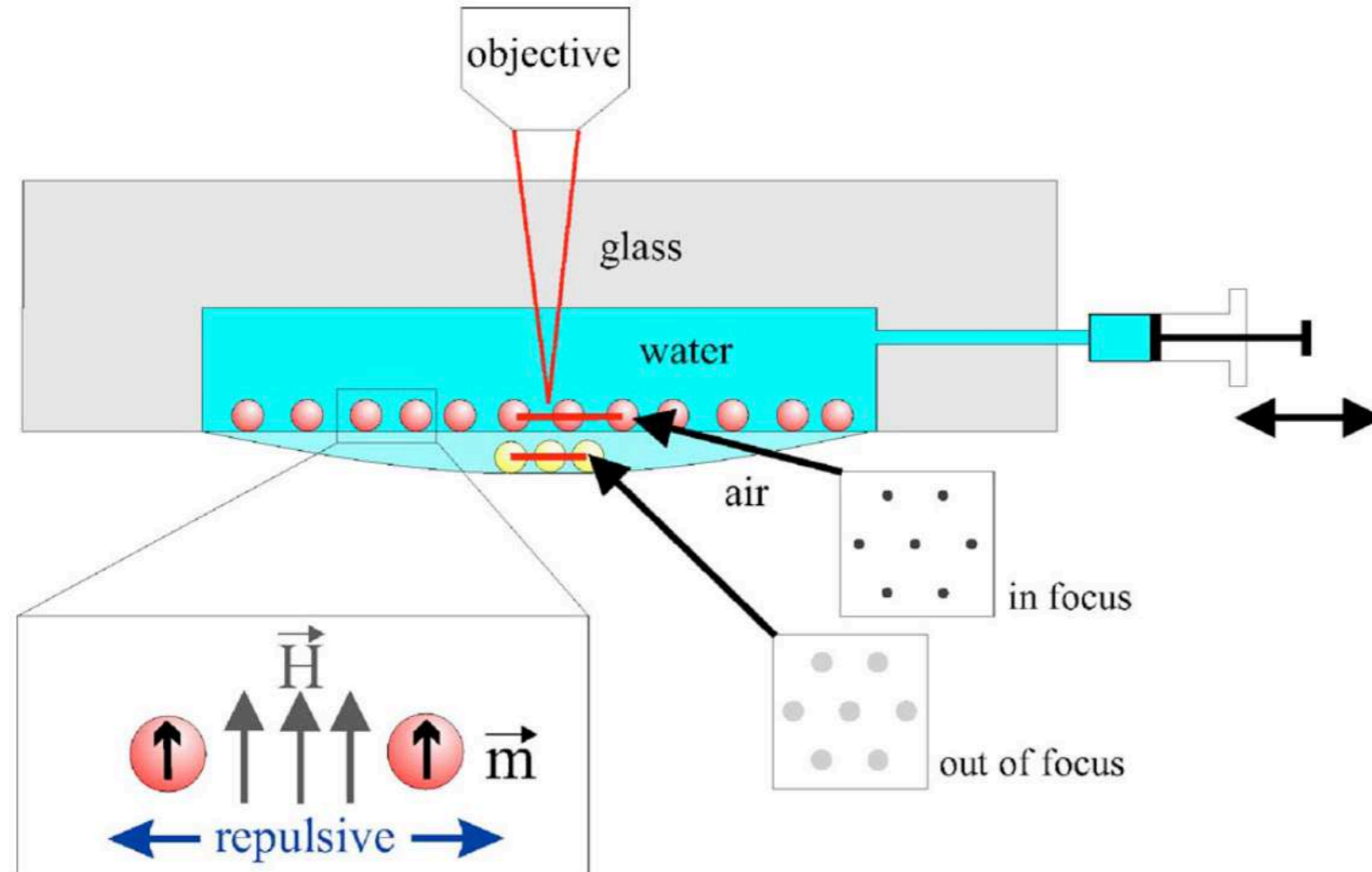
## Fluides et cristaux bi-dimensionnels au laboratoire



Expériences faites à Constance dans le  
groupe de Georg Maret et Peter Keim  
sur des systèmes colloïdaux

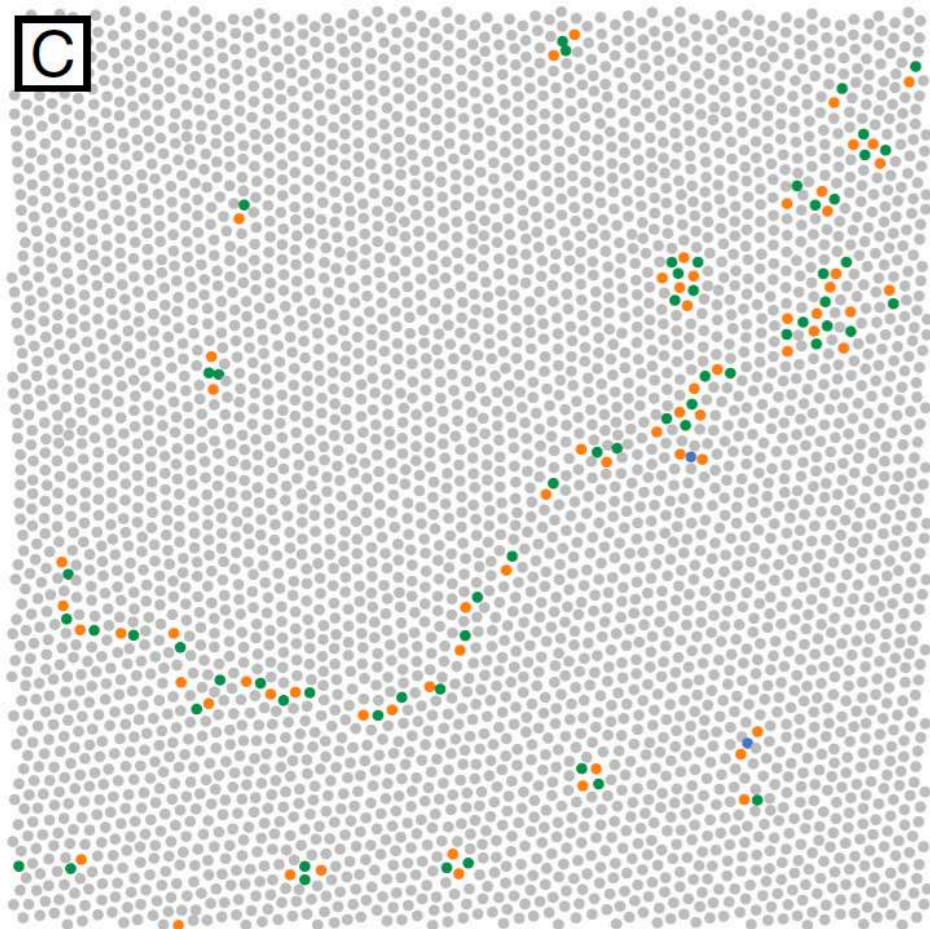
# Le montage expérimental de Constance

- Goutte d'eau (diamètre 8 mm) suspendue par tension superficielle
- Contrôle de l'horizontalité au micro radian près
- $10^5$  billes de polystyrène de diamètre  $4.5 \mu\text{m}$  (densité 1.5) à l'interface eau-air
- Dopage des billes avec des nanoparticules d'oxyde de fer + champ magnétique vertical : force de répulsion dipôle-dipôle entre les billes



Keim et al,  
Phys. Rev. E **75**,  
031402 (2007)

# Le montage expérimental de Constance (suite)



Deutschlander et al.,  
2015

On sélectionne une fenêtre de 1 mm x 1mm :  
environ 4000 billes, avec une distance moyenne  
entre billes de 15  $\mu\text{m}$

On enregistre la position de chaque bille avec  
une précision submicrométrique chaque seconde

Les constantes de temps pour atteindre l'équilibre  
peuvent dépasser un mois !

Paramètre de contrôle de l'expérience :  $\Gamma = \frac{E_{\text{mag}}}{k_B T}$



# Les différentes phases pour l'assemblée de particules

KTHNY : Kosterlitz, Thouless, Halperin, Nelson, Young (1973-1979)  $\Gamma = \frac{E_{\text{mag}}}{k_B T}$

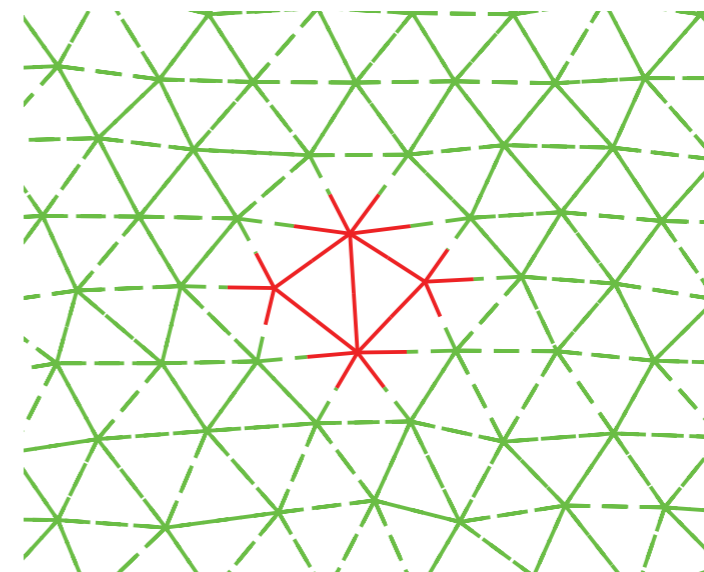
*Scénario validé par les expériences et les simulations numériques*

- $T = 0$  : cristal triangulaire parfait (si on néglige les fluctuations quantiques)
- Température très basse : fluctuations logarithmiques à la Peierls

Quasi-ordre translationnel :  $\langle (\mathbf{u}_j - \mathbf{u}_0)^2 \rangle \propto \log(R_j/a)$

Défauts locaux sans importance sur le comportement à longue portée

5 7 5  
7



Wierschem & Manousakis (2011)

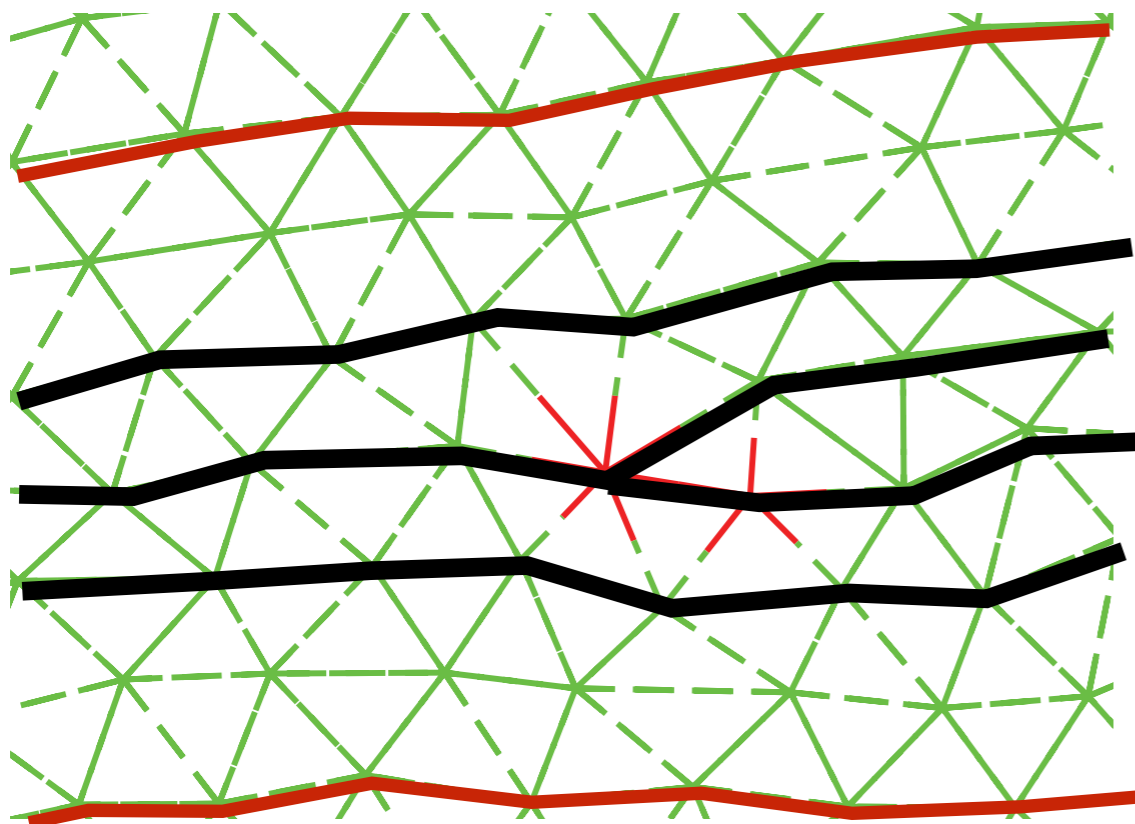
Véritable ordre orientationnel :  $\langle (\theta_j - \theta_0)^2 \rangle$  ne tend pas vers 0 à l'infini

# Les différentes phases pour l'assemblée de particules (2)

Première transition de phase à une température  $T_m$  telle que

$$\Gamma_m = \frac{E_{\text{mag}}}{k_B T_m} = 70.3$$

Apparition de « dislocations » : défauts de type 7-5 correspondant à l'ajout d'une demi-ligne d'atomes



Wierschem & Manousakis (2011)

- Détruit le quasi-ordre transactionnel à la Peierls
- Un quasi-ordre orientationnel subsiste

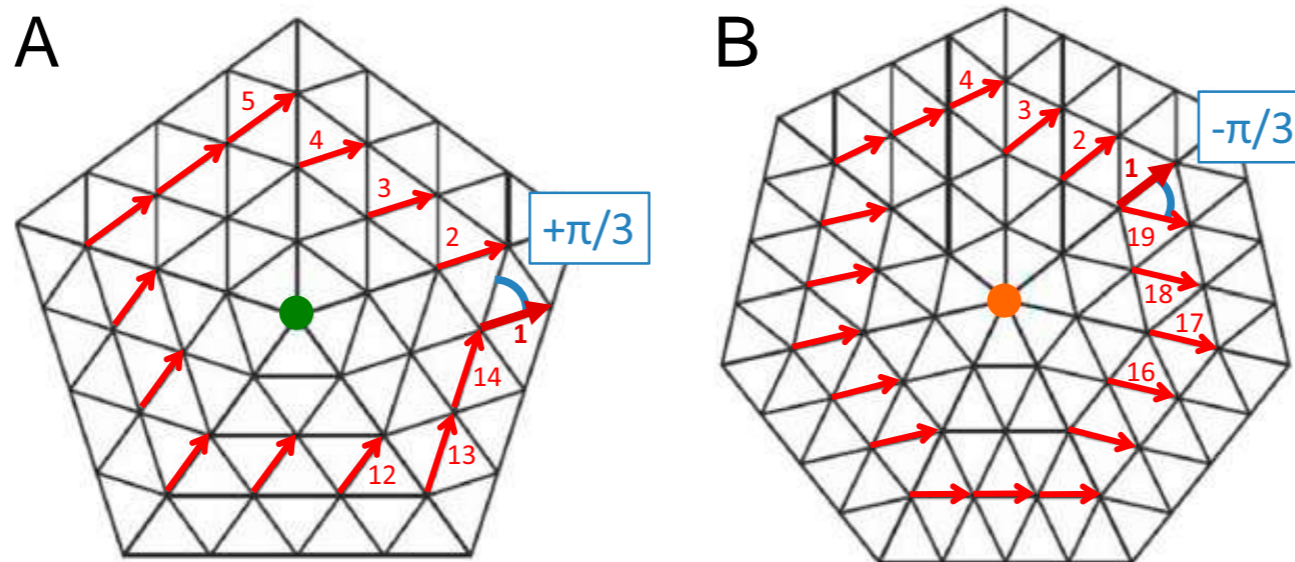
**Phase hexatique**

# Les différentes phases pour l'assemblée de particules (3)

Deuxième transition de phase à une température  $T_i$  telle que

$$\Gamma_i = \frac{E_{\text{mag}}}{k_B T_i} = 67.3$$

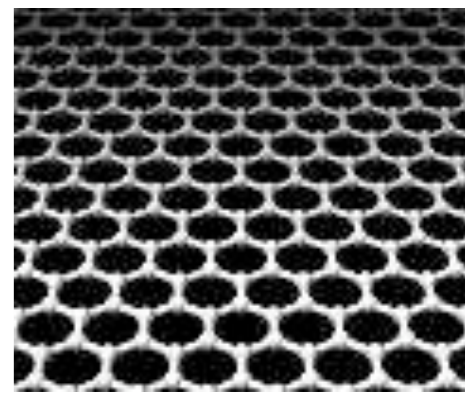
Apparition de « disclinations » : défauts isolés de type 7 ou de type 5



Deutschlander et al.,  
2015

**Perte de l'ordre orientationnel : il ne subsiste aucun ordre (ou quasi-ordre) à longue portée**

# Et le graphène ?



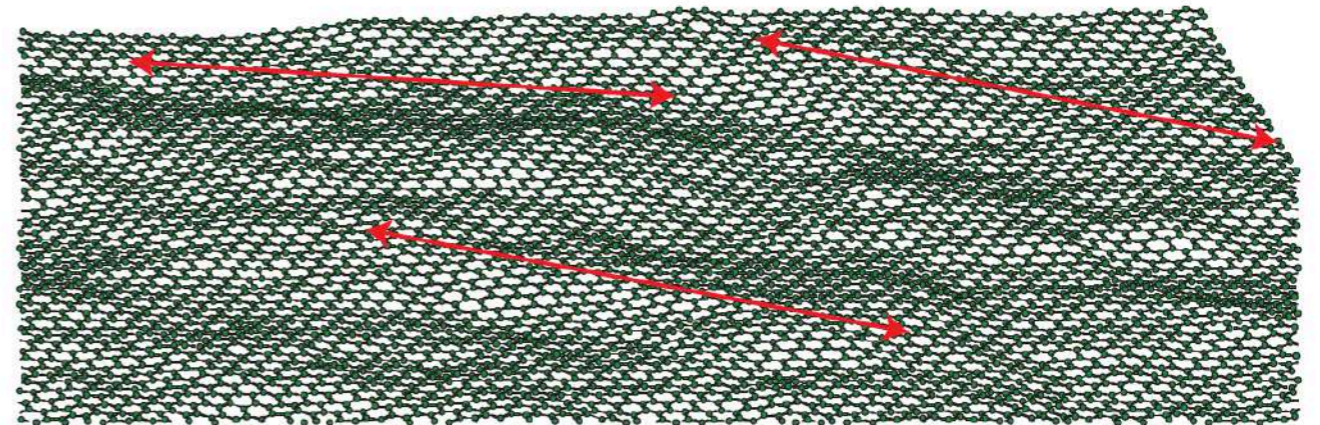
Feuille d'atomes de carbone présentant un ordre cristallin à deux dimensions

Compatibilité avec le théorème de Mermin - Wagner - Hohenberg ?

- Compte tenu de la raideur des liens, la perte de l'ordre cristallin ne se manifeste que sur de très longues distances

*Un échantillon de taille finie raisonnable peut présenter un ordre cristallin*

- La surface est plissée et le couplage non-linéaire entre fluctuations de hauteur et déplacements parallèles à la surface induit une composante effective à longue portée



Fasolino et al, 2007

# En résumé, pour l'état cristallin à 1D et 2D ...

Résultat de Peierls généralisé par le théorème de Mermin-Wagner - Hohenberg:

A température non nulle, il n'y a pas d'ordre translationnel à longue portée en dimension réduite. La contribution des phonons (dominante à basse T) donne :

$$1D : \langle (\mathbf{u}_j - \mathbf{u}_0)^2 \rangle \sim \frac{k_B T}{\kappa} \frac{R_j}{a} \quad : \text{décroissance rapide des corrélations}$$

$$2D : \langle (\mathbf{u}_j - \mathbf{u}_0)^2 \rangle \sim \frac{k_B T}{\kappa} \log(R_j/a) \quad : \text{quasi-ordre}$$

A plus haute température et à 2D, dissociation de défauts locaux de type  $7 \frac{5}{5} 7$  .  
Une fois dissociés, ces défauts détruisent complètement l'ordre translationnel

Le rôle des fluctuations quantiques, seules présentes à température nulle :

$$1D, T = 0 : \langle (\mathbf{u}_j - \mathbf{u}_0)^2 \rangle \sim \frac{\hbar}{m\omega} \log(R_j/a) \quad \omega = \sqrt{\kappa/m}$$

loi similaire aux fluctuations thermiques à 2D